

- quimioterapia. 143 f. Tese (Doutorado em Medicina Veterinária, Clínica Veterinária) – Universidade Estadual Paulista, Faculdade de Medicina de Botucatu, São Paulo, 2005.
3. MOUTINHO. **Tumor venéreo transmissível com metástases cutâneas em um cão.** Revista Ciência Rural, v. 25(3), p. 469-471. 1995.
 4. ROCHA, T. M. M. **Tumor venéreo transmissível nasal em um cão.** Revista Acadêmica, Ciência Agrária Ambiental, Curitiba, v. 6, n. 3, p. 349-353, jul./set. 2008
 5. SOUSA, J. **Características e incidência do tumor venéreo transmissível (TVT) em cães e eficiência da quimioterapia e outros tratamentos.** Archives of Veterinary Science v.5, p.41-48, 2000
 6. WITHROW, S. J. **Small Animal Clinical Oncology.** Fourth Edition, Cap 32, p. 799-802 - 2007

Ultrassonografia abdominal em primatas do gênero *Alouatta fusca*

Sartor, R.*; Müller, T. R.; Mamprim, M. J.; Lehmkuhl, R. C.; Tranquilim, M. V.; Rassy, F. B.

O gênero *Alouatta*, popularmente chamado de macaco bugio, está em extinção, e o conhecimento sobre as particularidades dessas espécies é importante nos trabalhos de conservação^{1,2}. O objetivo deste estudo foi descrever a anatomia ultrassonográfica normal do fígado e do aparelho urinário do *Alouatta fusca*. **Materiais e Métodos:** Foram avaliados ultrassonograficamente seis *Alouatta fusca*, provenientes do Centro de Medicina e Pesquisa de Animais Selvagens da FMVZ-Unesp, autorizados pelo IBAMA, protocolo 20.928 e 17207-1. Os animais foram preparados com jejum e anestesia geral. Foram avaliados a vesícula urinária, os rins, fígado e estômago, em cortes longitudinais e transversais. **Resultados:** A bexiga foi observada circular ou ovalada, de conteúdo anecogênico homogêneo, paredes ecogênicas com espessura média de 0,20 cm. O comprimento médio dos rins foi de 3,48 cm e a relação entre as corticais e medulares foi de 1:1. A região cortical apresentou ecogenicidade hiperecogênica, comparada ao parênquima hepático, e isoecogênica, ao parênquima esplênico (Figura 1). Foram avaliados também o fígado (Figura 2) e o estômago (Figura 3). A descrição da aparência ultrassonográfica normal dos órgãos poderá ser utilizada como literatura de apoio e comparação em casos futuros.

*raquelsartor@yahoo.com.br

Universidade Estadual Paulista “Júlio de Mesquita Filho”, FMVZ-Unesp, Botucatu

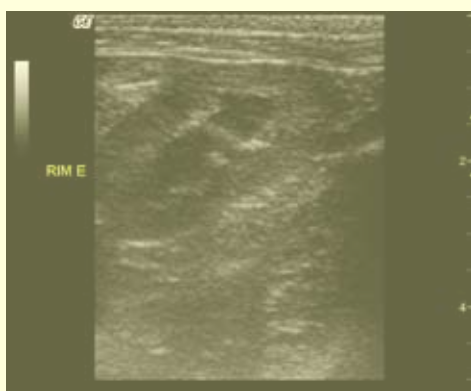


Figura 1. Rim. Observam-se as regiões cortical (externa e hiperecogênica), medular (interna e hipocogênica) e cápsula (linha hiperecogênica contornando o rim).



Figura 2. Fígado. Observa-se o parênquima hepático bastante hipocogênico, porém tal aspecto poderia estar correlacionado aos anestésicos utilizados. A vesícula biliar está preenchida por um conteúdo anecogênico com parede hiperecogênica, medindo em média 0,15 cm de espessura.



Figura 3. Estômago. Distendido por gás e conteúdo líquido com resquícios alimentares. Cinco camadas, alternadamente hiperecogênicas e hipocogênicas, podem ser observadas na parede gástrica.

Referências bibliográficas:

1. Gregorin, R. Taxonomy and geographic variation of species of the genus *Alouatta* Lacépède in Brazil. *Rev. Brasil. Zool.* 23(1):64-144, 2006.
2. Lindenmayer, D.B.; Mccarty, M.A.; Parris, K.M.; Pope, M.L. Habitat fragmentation, landscape context, and mammalian assemblages in southeastern Australia. *Journal of Mammalogy*, v.81, n.3, p.787-792, 2000.

Uso de fixador externo circular em não união em fratura distal rádio e ulna em cão de 35 kg

Romano, L.; Bertolacini, L.

O fixador externo circular é constituído por fios tensionados unidos a anéis inteiros ou semianéis, conectados por hastes rosqueadas. É um sistema axialmente estável e difere de outros sistemas porque permite a fixação rígida de fraturas, o alongamento ósseo e correção de deformidades angulares ou rotacionais, além de compressão óssea. Ferret (1998) citou que as estratégias utilizadas em não uniões com o fixador circular são estabilização rígida e compressão entre os fragmentos fraturados. Localmente, os eventos após a fratura seguem uma sequência inicial idêntica à de outros tecidos, com as fases de